

УДК 629.4.027.23:629.463.001.24

О.М.САВЧУК, В.Т.ВИСЛОГУЗОВ (ДИИТ)

ОПТИМИЗАЦИЯ ШТАМПОСВАРНОЙ НАДРЕССОРНОЙ БАЛКИ ГРУЗОВОЙ ТЕЛЕЖКИ

Приведены новая конструкция и расчет балки. По результатам расчета сделан сравнительный анализ по массе с литьей надressорной балкой типовой конструкции.

Тележки типа ЦНИИ-Х3, которыми в настоящее время оборудованы грузовые вагоны, не в полной мере удовлетворяют современным условиям эксплуатации. При скоростях движения до 60 км/ч рессорные комплексы заклиниваются, то есть полностью выключаются из работы. Это приводит к увеличению вертикальных сил и ускорений, действующих на всю конструкцию вагона и перевозимый груз. Не удовлетворительно работает конструкция и в горизонтальной плоскости. Силы сопротивления клиновых гасителей оказываются настолько большими, что препятствуют горизонтальным перемещениям надressорной балки относительно боковых рам. Это приводит к высокому уровню поперечных динамических сил, с которыми связаны подрезы гребней колесных пар, отказы буксовых подшипников, износы и расстройства пути, ограничение скорости движения на стрелочных переводах.

В результате многолетнего творческого сотрудничества ДИИТа, ИТМ АН Украины и Уралвагонзавода была разработана новая модель двухосной тележки. В ней помимо ряда конструктивных усовершенствований понижена жесткость рессорного подвешивания в горизонтальной плоскости. Этот эффект достигнут за счет применения ножевых опор в сопряжении пружин и надressорной балки. При этом потребовалось уменьшить высоту сечения балки в зоне рессорного комплекта. Изготовление такой надressорной балки литьем затруднительно по технологическим причинам.

Была разработана и оптимизирована надressорная балка вышеупомянутой грузовой тележки штампосварной конструкции. Оптимизация поперечных сечений балки производилась по критерию

$$Q = f(S_i) \rightarrow \min \quad (1)$$

при:

$$\Psi_1(\bar{z}) = \frac{[\sigma] - |\sigma(\bar{z})|}{[\sigma]} \geq 0; \quad (2)$$

$$\Psi_2(\bar{z}) = \frac{|J_y(\bar{z})| - [J_y]}{[J_y]} \geq 0; \quad (3)$$

$$\Psi_3(\bar{z}) = \frac{|J_z(\bar{z})| - [J_z]}{[J_z]} \geq 0, \quad (4)$$

где Q - масса детали;

S_i - площади поперечных сечений балки, $i = 1 \dots 7$ (рис.);

\bar{z} - вектор, характеризующий форму и размеры поперечного сечения;

$\Psi_1(\bar{z}), \Psi_2(\bar{z}), \Psi_3(\bar{z})$ - определяющие функции ограничений по максимальным напряжениям, по максимальной жесткости относительно осей Y и Z соответственно;

$[\sigma]$ - допускаемые напряжения;

$[\sigma]$ - наибольшие реальные напряжения в рассматриваемом сечении;

$[J_y], [J_z]$ - "допускаемые" моменты инерции относительно осей Y и Z соответственно, определяющие допустимую жесткость сечения;

$J_y(\bar{z}), J_z(\bar{z})$ - моменты инерции сечения относительно осей Y и Z соответственно.

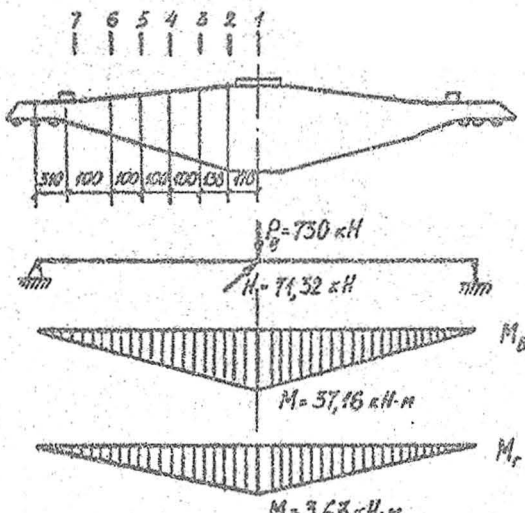


Рис.

Таблица

Номер сече- ния	Нагрузка, в сечении:		Допускае- мое напряжение [σ], МПа	Измежду сечений S_{ij} , см	Моменты инерции сечений I _y , см ⁴		Инерже- ние в сечении G , МПа	Пределъ сопротив- ления стальной базки S, см
	M _x , кН·м	M _y , кН·м			I _z , см ⁴			
1	37,16	3,63	0	180	212	46415	24021	148,3
2	30,95	3,02	0	180	169	36401	21448	170,9
3	25,92	2,53	0	180	158	26381	19741	169,2
4	22,27	2,18	0	180	148	18556	18185	174,2
5	18,62	1,82	0	180	144	13016	19724	168,8
6	14,97	1,46	0	180	143	8568	22632	160,3
7	11,3	1,11	0	180	154	5230	27859	158,5
								193,8

Учитывались также и конструктивные ограничения на размеры. Задача сводилась к определению такого сечения, которое при максимальных значениях критерия обеспечивало минимальную площадь. Расчет производился на компьютере с применением программы DIITM.

При определении нагрузок, действующих на надпрессорную балку, была принята расчетная схема, представленная на рисунке.

Вертикальная нагрузка определялась по ИИ расчетному режиму. Ее значение составило 730 кН. Горизонтальная нагрузка определялась из условия поперечной жесткости рессорных комплектов и составила 7,32 кН.

Анализ результатов расчета (табл.) показал, что площади поперечных сечений штампосварной надпрессорной балки меньше, чем у стандартной литой конструкции в среднем на 19%.

СПИСОК ЛИТЕРАТУРЫ

1. Шадур Л.А. Вагоны. Конструкция, теория и расчет /М.: Транспорт, 1980. 439 с.
2. Расчет вагонов на прочность /Под ред. Л.А.Шадура. М.: Машиностроение. 1971. 432 с.
3. Нормы для расчета и проектирования новых и модернизируемых вагонов железных дорог МПС 1520 мм (несамоходных): ВНИИЖТ. М., 1983. 260 с.
4. Справочник по ремонту грузовых вагонов /Под ред. В.Д.Алексеева. М.: Транспорт, 1970. 463 с.
5. Кашкин А.И., Пейрик Х.И., Френкель В.Я. Разработка и исследование работоспособности штампосварной надпрессорной балки и боковой рамы тележки ЦНИИ-Х3-0//Труды ВНИИВ. М., 1975. Вып. 402.